湿地を流れる河川の蛇行形状の特性

The Characteristics of Meandering River in a Marsh

北海道大学工学部 環境社会工学科 ○学生員 渡辺伸宙 (Nobuoki Watanabe) 北海道大学大学院 工学研究院 正会員 田中岳 (Gaku Tanaka)

1. はじめに

沖積地の河川のように, 砂礫の移動に伴い形成され蛇 行形状は,大小様々な曲率をもつ湾曲部が多数複合した 形状であるのに対して、湿原における河川 の蛇行形状 は、直線部が連なって屈折したような形状になっている. このことは、河床材料の違い(泥炭土)や河岸植生の繁 茂など、湿原環境の特異性にあると考えられる. 図-1、 図-2 は湾曲した河道形状(当幌川),直線流路と屈折 部が連なった河道形状 (チルワツナイ川;釧路湿原)の 例であり、いずれも北海道道東付近を流れる中小河川で ある. 図はほぼ同縮尺である. Seminara¹⁾ が詳述してい るように,これまでに沖積地等における蛇行河川の流路 形状(縦横断河床形状と平面形状)と、水理量や流砂と の関係については、実験、理論解析、数値シミュレーシ ョンと、様々な手法に基づく多くの研究成果によって明 らかにされている. しかしながら, 湿原等に見られるよ うな河川の蛇行形状に関しては、未解明のままである.

本研究の目的は、湿地にみられる河川の初期形成と、その発達機構を解明することにある。その最初の段階として本論文は、数値地図情報(GIS)を活用し、河川の平面形状の特徴を河道中心線の曲率という観点から捉えようとするものである。

2. 解析対象河川と河道中心線の作成

2. 1 対象河川

2007 年 10 月に国土地理院にて公開された数値地図 25000 (空間データ基盤) 2)から、平水時の河道中心位 置を取り出し解析する.表-1に示すのは,道東を流れ る中小河川、12河川である.この内湿原に属する部分 を流れる河川は 4 河川(表中の*)あり、釧路湿原、別寒 辺牛湿原、風蓮湖付近のいずれかに属する. 図-3 に示 したものは対象河川の位置を示しており、図中の番号は 表-1 の番号と対応している. また現在は湿原に分類さ れないが、かつて湿原に分類されていた地域を流れる河 川も今回の 12 河川の内に 3 河川(表中の**)入っている. 今回対象とした河川は、衛生画像等から川幅 B を推定 できる河川を対象としている. 川幅については目視で任 意の 10 点を計測し、その平均を川幅として定義した. 表-1 にはそれぞれの河川の川幅の値を併記した.尚, 地図からの川幅計測が困難な場合には, その近郊の河川 の川幅を用いた. コッタロ川はチルワツナイ川, チャン ベツ川、オモシロンベツ川は別寒辺牛川の川幅を用いて いる.



図-1 当幌川(中,上流付近)



図-2 チルワツナイ川 (釧路湿原)

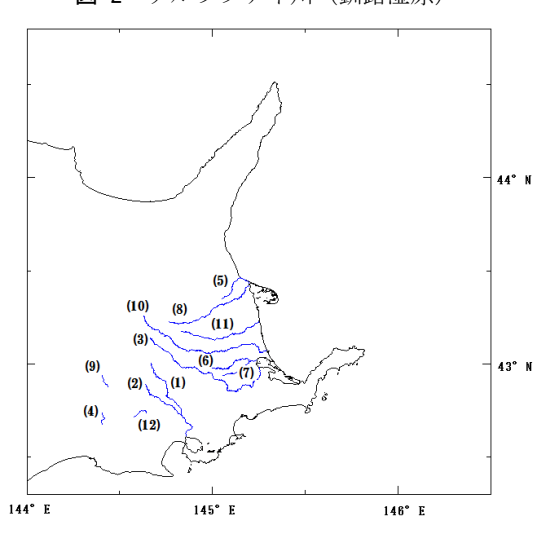


図-3 道東地域拡大図

表-1	角忍 太丘	计负	रेता ।।	デー	Þ
7 ⊻ −	円牛小川	XII 🦘 K	(PL / L		′>

No	河川名	市町村名	川幅(m)	曲率			備考
				平均	歪度	尖度	湘石
1	別寒辺牛	厚岸郡厚岸町,川上郡標茶町	10.8	0.00093	0.234	11.07	*
2	チャンベツ	厚岸郡厚岸町,川上郡標茶町	10.8	-0.00059	0.021	13.64	*
3	風蓮	厚岸郡浜中町,野付郡別海町,根室市	17	0.00096	0.398	16.50	*
4	チルワツナイ	阿寒郡鶴居村	11.3	0.00080	0.312	10.32	*
5	茶志骨	標津郡標津町,中標津町	5.8	-0.00057	0.785	17.31	**
6	ヤウシュベツ	野付郡別海町	10.3	-0.00019	0.823	13.89	**
7	ケネヤウシュ	野付郡別海町	9.5	0.00144	1.192	28.25	**
8	当幌	野付郡別海町,中標津町,標津町	9	0.00013	-0.320	6.39	
9	コッタロ	川上郡標茶町	11.3	0.00061	-0.247	7.47	
10	西別	野付郡別海町, 川上郡標茶町	14.5	-0.10187	-0.220	7.83	
11	床丹	野付郡別海町	11	-0.00216	0.126	8.72	
12	オモシロンベツ	川上郡標茶町	10.8	0.00107	0.516	10.92	

2. 2 河道中心位置データの作成

本研究においては,この数値地図情報を用いて検討していくが,曲率を求める際に座標点が等間隔である方が便利である.しかしこの河道位置データは等間隔ではない為,数値地図情報の点データを補間して任意の等間隔データを得る.方法としては 2 点間を直線で結ぶ単純直線補間 3 や,座標を関数で結ぶスプライン補間 4 によるものがあるが,ここでは以下で述べるように,後者のスプライン補間を用いて等間隔の河道中心位置データ系列を作成する.本研究で用いるスプライン関数は 3 次のスプライン関数である.Inci Guneralp,Bruce L. Rhoads 4 によれば,元の座標データの 2 点間を直線で結んだ軸(τ 軸)上でx座標,y座標をそれぞれ 3 次のスプライン関数で定義する.

$$CS(\tau) = (x(\tau), y(\tau))$$

その曲線上を等間隔にサンプリングしている. $x(\tau)$, $y(\tau)$ は下の式(1), 式(2)で表される. j は元の座標データの番号 1~N であり, a,b,c,d はそれぞれの区間での係数を表す.

$$x(\tau) = a_{x,j} (\tau - \tau_j)^3 + b_{x,j} (\tau - \tau_j)^2 + c_{x,j} (\tau - \tau_j) + d_{x,j}$$
(1)
$$y(\tau) = a_{y,j} (\tau - \tau_j)^3 + b_{y,j} (\tau - \tau_j)^2 + c_{y,j} (\tau - \tau_j) + d_{y,j}$$
(2)

曲率 k(s)の計算においては、曲線軸 (s 軸) 上で定義された式(1)、(2)のそれぞれの第 1 次導関数、第 2 次導関数から式(3)の式より求める.

$$k(s) = \frac{x'y'' - y'x''}{((x')^2 + (y')^2)^{\frac{3}{2}}}$$
 (3)

尚,式(3)より求められた曲率はk(s) = 1/C(s)(C(s)は曲率半径)で表され、曲率の $C(s) \rightarrow 0$ の時の極限値を取る

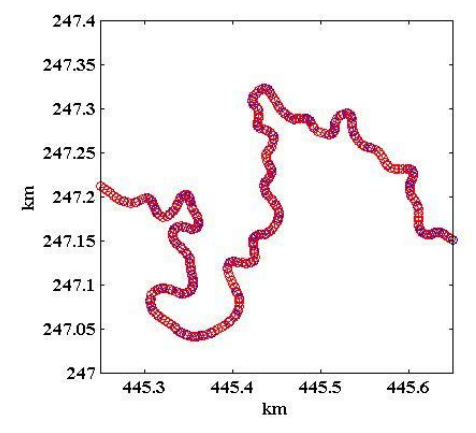


図-4 当幌川 対象区間一部拡大図

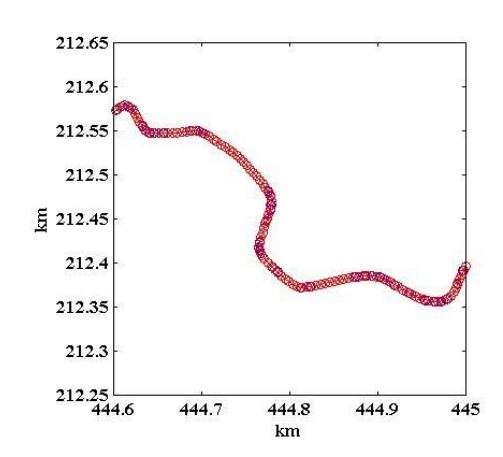
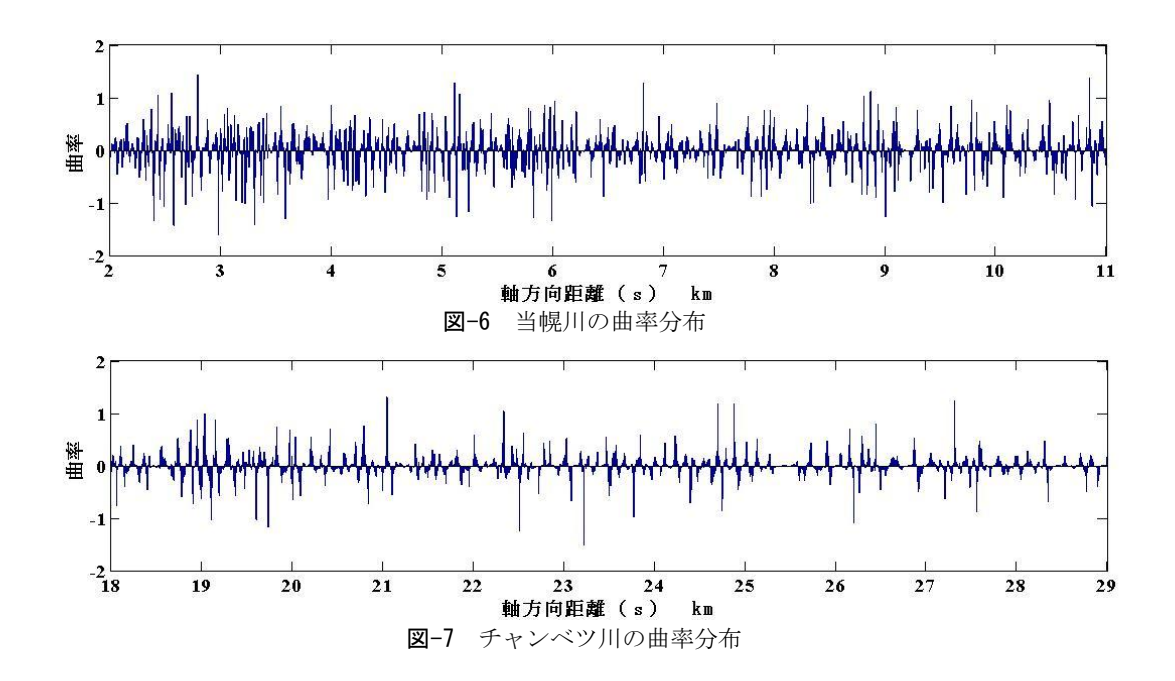


図-5 チルワツナイ川 対象区間一部拡大図

ので、式(3)の値は $k(s) \to \pm \infty$ で表される. 計算は MATLAB7.9.0(R2009b)を用いて計算を行った. 尚、ここで等間隔にサンプリングする際にその間隔によって曲率の値は変わってくる. 間隔の決定方法であるが、規模の違う河川を比較するため川幅の半分の間隔(B/2)でサンプリングし、無次元化を行う.



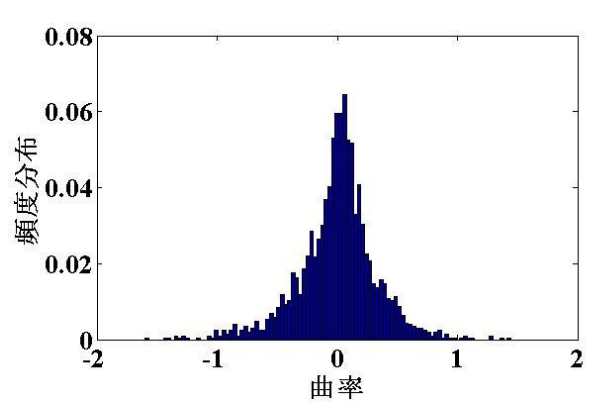


図-8 当幌川のヒストグラム

0.2 0.15 中 (次 0.1 野 0.05 0-2 -1 0 1 2

図-9 チャンベツ川のヒストグラム

3. 計算結果

3.1 分布の違い

図-1, 図-2 で示したような蛇行形状の違いが可動中 心線の曲率の分布としてどのように現れるのかを検討す る. 湿原を流れる河川としてチャンベツ川, 湿原以外を 流れる河川として当幌川を例に挙げる. 図-4, 図-5 は 曲率の分布を計算した区間の一部の蛇行形状である. 図 中の距離は北緯40°20′東経139°00′からの距離であ る. 図-1, 図-2 と同じような形状の違いを有している ことが分かる.図-6、図-7はそれぞれの河道中心線の 曲率の分布を示したものである. 図-8 図-9 のヒストグ ラムはそれぞれ図-6、図-7の分布において、曲率の値 とその頻度を示したグラフである. 図-6 から図-9 の曲 率は川幅で無次元化した値である. 長さの異なる河川で も比較ができるようにデータ総数で割った確率分布を求 めることにした. その区間に該当する座標を取る間隔は 図-6 と図-7 で異なるがおおよそ二つは座標点 2000 個を 使った曲率の分布になっている.

図-6, 図-7 の違いとして,分布の密度が異なっていることが見て取れる. 当幌川の方は曲がりが多いために曲率の変化が連続的であるのに対し,チャンベツ川の方

は直線が連続した蛇行形状になるため、曲がりの部分で値をとるパルス状の離散的な分布になっていることが分かる.この分布の違いは、図-1、図-2 に示したような蛇行形状の違いを示していることになる.

また図-8, 図-9 に示したヒストグラムを見てみると、その分布の違いがよくわかる. 曲率が 0 付近において分布が多くなっているチャンベツ川に対して、それよりも 0 付近の尖がりが小さいが、-2~2 付近の曲率の分布が多くなっている当幌川と、それぞれの特徴がみられた、実際、0 の分布はチャンベツ川が当幌川の約 2 倍の分布を示している. つまり、チャンベツ川の方が当幌川よりも河道長に対する直線区間の割合が非常に多いことを意味している. 他の解析対象河川についても同じようなことが言えた.

3.2 歪度と尖度

曲率の分布を見ていく際の着眼点として、分布のひずみと尖がりを見ていく。 歪度は分布の平均値を中心とした左右の対称性を示しており、尖度は平均値における密集の度合を示している。標準正規分布の場合は歪度 0,

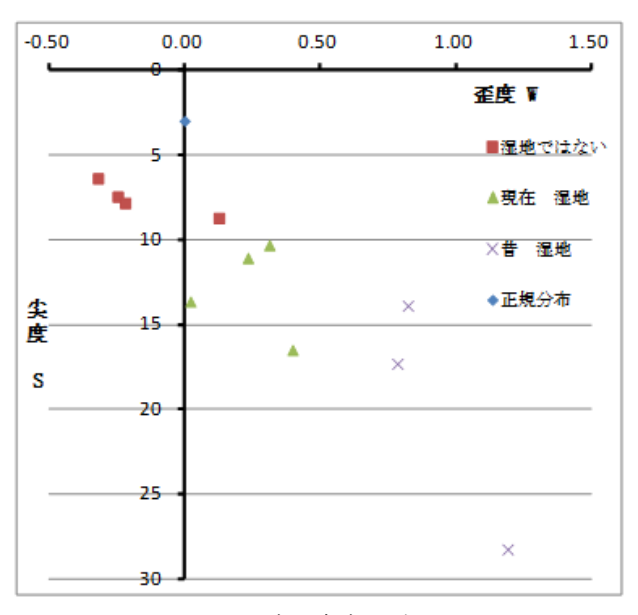


図-10 歪度と尖度のグラフ

尖度 3 という値を示す. 歪度と尖度はそれぞれ式(4)と式(5)で求める. 尚、 σ は分散の値であり、 \bar{x} は平均、i は座標の番号である.

$$W = \frac{1}{(\sqrt{\sigma})^3} \frac{1}{n} \sum (x_i - \bar{x})^3$$
 (4)

$$S = \frac{1}{(\sqrt{\sigma})^4} \frac{1}{n} \sum (x_i - \bar{x})^4$$
 (5)

表-1 には河川毎に平均と歪度 W と尖度 S を計算した結果を載せてある。図-10 は横軸に歪度 W,縦軸に尖度 S を取ってグラフにしたものである。表-1 において,No.1 から No.4 は現在河川が湿地内を流れている河川であり,No.5 から No.7 は大正時代に湿地に属していたと思われる河川,No.8 から No.11 は湿地には属さない土地を流れている河川,No.12 は地図からでは確定できない河川である。湿地を流れているか否かの判断は,現地観測 51 や「北海道の湿原」 51 に示されている図版を元に判断している。また図-3 に示す個々の河川に対して,曲率の分布が一定とみなせる範囲を切り取って歪度と尖度を計算しているが,その範囲を図示することについては紙面の都合上省略している。

表-1 を見ると平均がおおよそ 0 付近に集中し、歪度が 0 に近い値を示していることが分かる. これはヒストグラムに直した際にピークが図-8、図-9 のように 0 付近に集中していることを意味している. 表-1 で湿地に属する部分と湿地に属さない部分を比べると、湿地に属さない部分よりも湿地に属しているまたは属していると考えられる部分の方が尖度の値が大きい値を示していることが分かる. この傾向は、W.M.Appels⁷⁾らの報告とも一致する. よって図-1、図-2 でみられた蛇行の特徴を示している. つまり図-1 のような、多数の湾曲が連続するような蛇行形状では直線の分布が少なく、幅広い曲率を有しているのに対して、図-2 のような、直線が組み合わさったような蛇行形状では 0 付近に曲率の分布が

集中し、尖度の値が高い値を示す.ここで取り上げた河川に限っては図-10 で示したように、尖度 10 付近を境にそれよりも小さければ図-1 のような湾曲した蛇行形状、大きければ図-2 のような屈曲した蛇行形状になっていることが分かる.以上より曲率の分布や統計的な特性、特に歪度と尖度の関係は蛇行形状の違いを定量的に示すのに有効と言える.

4. おわりに

本研究は、湿原を流れる河川と湿原以外を流れる河川の蛇行形状の違いを定量的に評価しようとしたものである. 以下に本研究のまとめを述べる.

- 1) 曲率のヒストグラムについては、直線流路が連続するような、湿原を流れる河川ではその値が0に集中し、湾曲が連続して連なったような湿原以外に多く見られる河川では曲率に幅広い分布がみられ、両者に明確な違いを示した。
- 2) 歪度と尖度を用いた曲率の分布の解析について、本研究に限っては湿地を流れる河川と湿地以外を流れる河川とで尖度 10 区別できると考えられる.

今後はこうした蛇行形状の統計的な特性の違いを地形 及び地質的な特性,水理条件などと対応させて考察する 予定である.

参考文献

- 1) Giovanni Seminara: Meanders, *J. of Fluid Mech.*, vol. 554, pp. 271-297, 2006.
- 2) 国土地理院:数値地図 25000 (空間データ基盤), CD-ROM, 2002.
- 3) 田中梢,田中岳:低平地湿地における蛇行河川の形状,土木学会北海道支部論文報告集第66号 B-12, 2009
- 4) Inci Guneralp and Bruce L. Rhoads: Continuous Characterization of the Planform Geometry and Curvature of Meandering Rivers, *Geographical Analysis*, ISSN (40), pp. 1-25, 2008.
- 5) 田中梢,田中岳,長谷川和義:低平地湿地の蛇行河川流路形成機構に関する基礎的研究-釧路湿原チルワツナイ川の水理的特性の実態-,土木学会論文集B1(水工学), Vol.68, No.4, I_1177-I_1182, 2012.
- 6) 菅原紀夫:北海道の湿原,北海道新聞社, pp. 10, 2007
- 7) W.M.Appels, A.J.F.Hoitink, D.H.Hoekman: Planform geometry of peat meanders, Rivers, Coastal and Estuarine Morphodynamics, pp. 271-277, 2007.